

DOI: 10.11949/0438-1157.20190468

## 不同Pt前体制备Pt/CeO<sub>2</sub>催化剂对其结构及性能的影响

席康, 王勇, 谢晶, 王宁, 周瑛, 朱秋莲, 卢晗锋

(浙江工业大学化学工程学院, 浙江 杭州 310014)

**摘要:** Pt与载体间的相互作用会影响到本征Pt纳米粒子的催化活性, 不同Pt前体制备Pt/CeO<sub>2</sub>催化剂会使其表现出完全不同的催化性能。分别采用金属胶体粒子原位沉积法、浸渍法以及浸渍还原的方式制备了Pt/CeO<sub>2</sub>催化剂, 通过X射线衍射、程序升温还原、X射线光电子能谱以及高分辨透射电镜对催化剂进行表征, 在CO氧化以及甲苯燃烧反应中评价催化剂活性。结果表明, 胶体粒子原位沉积法制备Pt/CeO<sub>2</sub>催化剂, 能够将优先合成好的Pt纳米粒子直接以金属态Pt<sup>0</sup>的形式负载到载体表面, 且保证其高度均匀分散, 丰富的表面Pt<sup>0</sup>很好地充当了CO、甲苯反应时的活化位点, 催化剂表现出优异的性能; 浸渍还原法中, Pt纳米粒子之间会发生团聚现象, 同时部分Pt又以Pt<sup>2+</sup>的形式与CeO<sub>2</sub>之间形成了Pt–O–Ce相互作用, 载体表面暴露Pt<sup>0</sup>含量的下降是催化剂表现出较弱活性的主要原因; 浸渍法中, 以Pt离子对Pt进行负载, Pt完全以Pt<sup>2+</sup>的形式参与到Pt–O–Ce键成键中, 表面Pt<sup>0</sup>缺失, 催化剂表现出明显的失活现象。Pt/CeO<sub>2</sub>催化剂中, 起主要活性作用的是金属态Pt<sup>0</sup>, 胶体粒子原位沉积法能够实现Pt<sup>0</sup>的直接负载, 对于提高Pt基催化剂中Pt的利用率, 降低Pt资源消耗都具有重要意义。

**关键词:** Pt/CeO<sub>2</sub>催化剂; Pt纳米粒子; CO氧化; 浸渍法; 胶体沉积

**中图分类号:** TQ 133.3; TQ 138.2<sup>6</sup>    **文献标志码:** A

**文章编号:** 0438-1157 (2019) 11-4278-11

## Effect of Pt precursor on structure and performance of Pt/CeO<sub>2</sub> catalysts

**XI Kang, WANG Yong, XIE Jing, WANG Ning, ZHOU Ying, ZHU Qiulian, LU Hanfeng**

(Institute of Catalytic Reaction Engineering, College of Chemical Engineering, Zhejiang University of Technology, Hangzhou 310014, Zhejiang, China)

**Abstract:** The interaction between Pt and the carrier affects the catalytic activity of the intrinsic Pt nanoparticles. Herein, Pt/CeO<sub>2</sub> catalyst was successfully prepared via a facile Pt colloidal particle deposition method, and its physicochemical properties and catalytic performance in CO oxidation and toluene combustion were investigated. XRD, TEM, XPS and H<sub>2</sub>-TPR were used to identify the states of Pt particles on the support surface, as well as their effect on the performance of the catalysts. Formation of metallic Pt<sup>0</sup> which provided the active sites for CO oxidation and toluene combustion is one of the factors controlling catalyst activity. Pt/CeO<sub>2</sub> catalyst prepared by colloidal particle deposition was found to be more advantageous than conventional impregnation and impregnation-reduction in producing very finely dispersed metallic Pt<sup>0</sup> that did not noticeably agglomerate even after thermal treatment at 400°C for longer duration. The CO oxidation and toluene combustion activity additionally demonstrate that the sample shows a remarkably better performance as compared to its impregnated counterparts. By contrast, all of Pt

收稿日期: 2019-05-06 修回日期: 2019-06-15

通信作者: 卢晗锋(1977—), 男, 博士, 教授, luhf@zjut.edu.cn

第一作者: 席康(1996—), 男, 硕士研究生, 1648812238@qq.com

基金项目: 国家自然科学基金项目(21506194, 21676255); 浙江省自然科学基金项目(Y16B070025)

引用本文: 席康, 王勇, 谢晶, 王宁, 周瑛, 朱秋莲, 卢晗锋. 不同Pt前体制备Pt/CeO<sub>2</sub>催化剂对其结构及性能的影响[J]. 化工学报, 2019, 70(11): 4278–4288

**Citation:** XI Kang, WANG Yong, XIE Jing, WANG Ning, ZHOU Ying, ZHU Qiulian, LU Hanfeng. Effect of Pt precursor on structure and performance of Pt/CeO<sub>2</sub> catalysts[J]. CIESC Journal, 2019, 70(11): 4278–4288

atoms were anchored with the surface oxygen of CeO<sub>2</sub> by forming Pt–O–Ce bond during the oxidative treatment in impregnation method, resulting in the absence of metallic Pt<sup>0</sup>. This change is evidence of the appearance of Pt<sup>2+</sup> species, which is supported by the H<sub>2</sub>–TPR and XPS data, and could be the main reason behind the deactivation of the Pt/CeO<sub>2</sub> catalyst. Compared with impregnation method, the dispersion of metallic Pt<sup>0</sup> rised while less Pt–O–Ce bonds existed on the support surface, and a higher Pt<sup>0</sup>/Pt<sup>2+</sup> ratio could be maintained even under the high thermal treatment in impregnation reduction method. The catalytic activity test of CO oxidation and toluene combustion show that the sample exhibits the better catalytic performance due to the increase of surface metallic Pt<sup>0</sup>, but it is unavoidable for the sample to show a decline in catalytic activity compared with its colloidal particle depositional counterpart. Hence, it is concluded that the state and the dispersion of Pt nanoparticles on the support surface depended on the prepared method, and they are the decisive factors to promote the catalytic activity of Pt/CeO<sub>2</sub> upon the oxidative treatment, especially the abundant surface metallic Pt<sup>0</sup>. Based on characterization results, the colloidal particle deposition method is proposed to realize the direct load of metallic Pt<sup>0</sup> and gives the homogeneous dispersion of Pt nanoparticles, possessing a superiority in improving the catalytic performance.

**Key words:** Pt/CeO<sub>2</sub> catalysts; Pt nanoparticles; CO oxidation; impregnation; colloid deposition

## 引言

近年来,随着社会的发展,CO、VOC以及NO<sub>x</sub>等大气污染物的排放造成了越来越严重的环境问题,并对人类生活产生显著影响<sup>[1–6]</sup>。针对这一现状,我国出台了一系列严格的废气排放法规,同时在2018年7月,国务院发表的《打赢蓝天保卫战三年行动计划》,更是将大气污染物治理推向了刻不容缓的地步。

催化燃烧是一种普遍采用的大气污染物治理技术,其中,催化剂是核心<sup>[7–9]</sup>。负载型铂基催化剂具有高活性以及高稳定性等特点,被广泛应用于该技术中,同时其性能仍然具有潜在的提升空间,数十年来,得到人们不断深入研究<sup>[10–15]</sup>。目前的研究热点之一是对载体材料进行优化选择,如采用具有氧活化能力的活性材料作为载体。Becker等<sup>[16]</sup>以CeO<sub>2</sub>作为载体制备了Pt/CeO<sub>2</sub>催化剂,并将其与传统的Pt/Al<sub>2</sub>O<sub>3</sub>催化剂进行系统对比,结果表明,CeO<sub>2</sub>具有的储放氧能力能够很好地辅助Pt纳米粒子催化甲烷氧化,对催化剂活性起到明显改善作用;Oran等<sup>[17]</sup>研究发现,以硝酸铈浸渍修饰过的Al<sub>2</sub>O<sub>3</sub>负载Pt纳米粒子,比单一Al<sub>2</sub>O<sub>3</sub>负载表现出更好的CO催化氧化活性,归因于Ce的修饰能够在载体表面增加氧活化位点,改变反应历程,降低反应活化能;Peng等<sup>[18]</sup>以不同形貌的CeO<sub>2</sub>作为载体制备了Pt/CeO<sub>2</sub>催化剂,结果发现CeO<sub>2</sub>–纳米棒状体具有最高浓度的表面氧空位,以其作为载体制备的催化剂能够对气

相氧起到更好的活化作用,同时在甲苯催化燃烧中表现出优异的活性。活性材料不仅能够通过活化气相氧加强Pt基催化剂的使用性能<sup>[19–22]</sup>,同时本身优异的氧化还原性还会使其与表面负载的Pt纳米粒子产生复杂的相互作用,以CeO<sub>2</sub>为例,这种相互作用通常被形容为Pt–O–Ce相互作用<sup>[23–25]</sup>。Jung等<sup>[26]</sup>研究发现,Pt–O–Ce相互作用来源于两者之间的电子转移,并且受到载体暴露晶面的影响;Lee等<sup>[27]</sup>研究发现,Pt–O–Ce相互作用能够对Pt纳米粒子起到很好的抑制烧结及再分散作用;Maache等<sup>[28]</sup>研究发现,Pt–O–Ce相互作用能够改善载体的储放氧性能,同时提高活性氧在Pt与CeO<sub>2</sub>之间的流动性。虽然Pt–O–Ce相互作用对Pt/CeO<sub>2</sub>催化剂来说有诸多优势,但是该作用力形成的同时往往伴随着金属态Pt<sup>0</sup>的流失,使其以Pt<sup>2+</sup>的形式参与到载体表面的Pt–O–Ce键成键中<sup>[29–30]</sup>,而无论是在CO氧化反应,还是在甲苯、甲烷燃烧反应中,金属态Pt<sup>0</sup>始终是主要的活性位点,对反应物活化来说必不可少<sup>[31–36]</sup>。所以,如何有效控制载体表面Pt纳米粒子的存在状态,能够在发挥载体优异氧化还原性的同时保证反应物有充足的活化位点,是制备高活性Pt基催化剂的关键。针对此,本文从胶体粒子原位沉积法出发,探讨了该制备方法下Pt纳米粒子在载体表面的存在状态以及对催化剂物理结构及催化性能的影响,并与传统浸渍法及浸渍还原法进行系统对比,分析了优势性以及差异性,为制备高活性Pt/CeO<sub>2</sub>催化剂提供了新思路。

## 1 实验材料和方法

### 1.1 材料

所有化学试剂均采购自商业渠道并未经过任何后续提纯处理。六水合硝酸铈( $\text{Ce}(\text{NO}_3)_3 \cdot 6\text{H}_2\text{O}$ , 99.5%)采购自上海国药集团有限公司;油酸(OA, 99.5%),油胺(OAm, >80%),十八烯(ODE, >90%),氯铂酸( $\text{H}_2\text{PtCl}_6$ , 99.95%),二亚硝基二氨铂( $\text{Pt}(\text{NH}_3)_2(\text{NO}_2)_2$ , 59%)采购自上海阿拉丁生化科技股份有限公司。

### 1.2 催化剂制备

$\text{CeO}_2$ 载体的制备:将一定量  $\text{Ce}(\text{NO}_3)_3 \cdot 6\text{H}_2\text{O}$  溶于水后配制成  $1\text{ mol} \cdot \text{L}^{-1}$  的硝酸盐溶液,逐滴滴加  $1\text{ mol} \cdot \text{L}^{-1}$  的沉淀剂  $\text{NH}_3 \cdot \text{H}_2\text{O}$  并调节悬浊液 pH 至 9~10,连续搅拌 3 h 后静置,混合沉淀物打浆洗涤 3 次,烘箱中 110℃ 干燥过夜,马弗炉中 500℃ 焙烧 3 h 得到  $\text{CeO}_2$ 载体。

Pt纳米胶体分散液的制备:0.02 g  $\text{Pt}(\text{NH}_3)_2(\text{NO}_2)_2$  加入到 10 ml 十八烯,5 ml 油酸以及 5 ml 油胺的混合溶液中,室温下连续搅拌 5 min,混合均匀后溶液转移入三口烧瓶, $\text{N}_2$  气氛下 200℃ 加热 2 h 并冷凝回流,产物以 3 倍体积乙醇进行离心分离,重复操作三次后将深黑色 Pt 纳米粒子重新分散在正己烷中。

Pt/ $\text{CeO}_2$ 催化剂的制备(胶体粒子原位沉积法):1 g 粉末状  $\text{CeO}_2$ 载体倒入正己烷溶液中并不断搅拌,逐滴滴加配制好的 Pt 纳米胶体分散液,控制 Pt 的负载量(质量分数)在 0.2%,连续搅拌 3 h 后静置,上层变为透明澄清证明 Pt 纳米粒子负载完成,悬浊液转移入旋蒸仪中 60℃ 旋转蒸干,烘箱中 110℃ 干燥过夜,马弗炉中 400℃ 焙烧 3 h 得到成型催化剂,记为 Pt/Ce-NPs。

Pt/ $\text{CeO}_2$ 催化剂的制备(浸渍法):相应 Pt 含量的氯铂酸水溶液逐滴滴加到含有 1 g  $\text{CeO}_2$ 载体的悬浊液中,控制 Pt 的负载量(质量分数)在 0.2%,75℃ 恒温搅拌 5 h,室温下静置 3 h,静置完成后的混合溶液转移入旋蒸仪中,75℃ 旋转蒸干,烘箱中 110℃ 干燥过夜,马弗炉中 400℃ 焙烧 3 h 得到成型催化剂,记为 Pt/Ce-IMP。

Pt/ $\text{CeO}_2$ 催化剂的制备(浸渍还原法):将浸渍法中得到的催化剂前体(干燥后未焙烧)倒入水中形成悬浊液,逐滴滴加体积分数约为 0.01% 的水合肼溶液 5 ml 并不断搅拌,75℃ 恒温搅拌 5 h,室温下静

置 3 h,然后将悬浊液转移入旋蒸仪中 75℃ 旋转蒸干,烘箱中 110℃ 干燥过夜,马弗炉中 400℃ 焙烧 3 h 得到成型催化剂,记为 Pt/Ce-IMP\_R。

### 1.3 分析测试仪器

XRD 表征在 ARLS CINTAG X`TRA 型 X 射线衍射仪上进行。所采用的滤波材质为 Ni, 辐射源为  $\text{CuK}_{\alpha}$ , 管电压为 45 kV, 管电流为 40 mA, 以  $0.02 (\text{°}) \cdot \text{s}^{-1}$  的扫速对 20°~80° 范围内的数据进行采集。

以 Scherrer 公式计算催化剂的平均晶粒尺寸  $d$ , 具体计算公式为

$$d = \frac{0.89\lambda}{B\cos\theta} \quad (1)$$

式中,  $\lambda$  代表 X 射线波长 ( $\text{CuK}_{\alpha}$  的波长为 0.1542 nm);  $B$  代表衍射峰的半峰宽;  $\theta$  代表衍射半角, (°)。

样品织构性质(比表面积、孔径、孔体积等)的测定采用低温(-196℃)氮气吸附/脱附法,在 3Flex (美国 Micromeritics) 吸附仪上进行。以  $\text{N}_2$  为吸附质,样品先在 200℃ 抽真空预处理 8 h,后进行测定。样品的比表面积采用 BET 法计算得到。

H<sub>2</sub>-TPR 表征在衢州泛泰 FINESORB-3010E 型化学吸附仪上进行。催化剂的装填量为 0.1 g, CuO 作为标样,反应气为 5% 的 H<sub>2</sub>/Ar 混合气。样品测试前,先在 Ar 气氛下 200℃ 预处理 1 h,温度降至 50℃ 后,通入还原气,50℃ 预处理 30 min,然后以  $10^{\circ}\text{C} \cdot \text{min}^{-1}$  的升温速率升至 850℃ 对催化剂进行还原性能测试,其中载气流速控制在  $20\text{ ml} \cdot \text{min}^{-1}$ 。热导检测器(TCD)检测,TCD 池温为 60℃,TCD 电流为 60 mA。

样品的金属结合能及表面金属浓度通过 VG Scientific ESCALab220i-XL 型光电子能谱仪分析,其中,激发源为 Al K<sub>α</sub> X 射线,功率约为 300 W。分析时的基础真空为  $3 \times 10^{-7}$  Pa。使用 C 1s(284.6 eV) 作为内标对样品的电子结合能进行校正。

### 1.4 活性评价

催化剂的活性测试在常压连续流动气固反应装置上进行,其中催化剂的装填量为 0.1 g(甲苯催化燃烧中为 0.05 g),以 0.2 g 石英砂进行稀释,填装在内径为 6 mm、长度为 16 cm 的石英反应管中。CO 催化氧化测试中,反应气采用 1% 的 CO 及 Air 混合气,气体流速控制在  $40\text{ ml} \cdot \text{min}^{-1}$ ,空速选择 24000  $\text{h}^{-1}$ ;甲苯催化燃烧测试中,反应气采用甲苯和干燥空气的混合气,其中甲苯浓度为  $2500 \times 10^{-6}$ ,气体流速控制在  $84\text{ ml} \cdot \text{min}^{-1}$ ,空速选择 100000  $\text{h}^{-1}$ 。进出口

反应气浓度均在装有 TCD 检测器(甲苯测试采用 FID 检测器)的 GC 2014 色谱仪上进行分析, 反应物转化率( $\eta$ )为

$$\eta = \frac{C_{\text{in}} - C_{\text{out}}}{C_{\text{in}}} \times 100\% \quad (2)$$

式中,  $C_{\text{in}}$  代表反应物进口浓度,  $\text{mol} \cdot \text{L}^{-1}$ ;  $C_{\text{out}}$  代表反应物出口浓度,  $\text{mol} \cdot \text{L}^{-1}$ 。

## 2 实验结果与讨论

### 2.1 胶体分散液中 Pt 特性分析

图 1(a)、(b) 分别是所合成胶体分散液中 Pt 纳米粒子的 TEM 及 HRTEM 谱图, 观察谱图发现, 胶体分散液中 Pt 纳米粒子均匀分散并且无团聚出现, HRTEM 谱图显示其晶面间距为 0.23 nm, 对应于面心立方 Pt 的(111)晶面; 粒径分布统计图[图 1(c)]显示其平均粒径为 5.2 nm, 同时尺寸分布较窄, 标准偏差不超过 5%, 说明所合成胶体分散液中 Pt 纳米粒子具有很好的均一性, 这是其用于制备负载型 Pt 催化剂的基础。

### 2.2 Pt/CeO<sub>2</sub> 催化剂中 Pt 特性分析

以胶体分散液作为 Pt 源, 制备得到的 Pt/Ce-NPs 样品的 TEM、HRTEM 以及 Mapping 谱图如图 2 所示, 图中以红圈标记的地方是呈现出“点状”分布的 Pt 纳米粒子, 可以看到, Pt 纳米粒子均匀分散并且无团聚出现, HRTEM 谱图显示其形貌为椭球形, 尺寸为 5 nm, 很好地维持了胶体分散液中的特性; 图 3 以及图 4 分别是浸渍法以及浸渍还原法制备得到的 Pt/Ce-IMP 以及 Pt/Ce-IMP\_R 样品的 TEM、HRTEM 以及 Mapping 谱图, 从 Pt/Ce-IMP 样品的 TEM 以及 HRTEM 谱图中难以分辨出载体表面分散的 Pt 纳米粒子, 但是 Mapping 谱图给出了 Pt 存在的有力证据, 可以看到 Pt 均匀分散, 以“点状”的形式分散在载体表面, 这可能是由于以 Pt 离子的形式负载 Pt, Pt 会以 Pt<sup>2+</sup> 的形式与 CeO<sub>2</sub> 之间形成 Pt-O-Ce 相互作用, 使 Pt 高度分散的同时, 颗粒态 Pt 的辨别变得困难; Pt/Ce-IMP\_R 样品中, 无论是 TEM、HRTEM 谱图, 还是 Mapping 谱图, 均显示 Pt 纳米粒子之间出现明显团聚现象, 颗粒尺寸大于 20 nm, 在载体表面呈现出“片状”分布的特点。

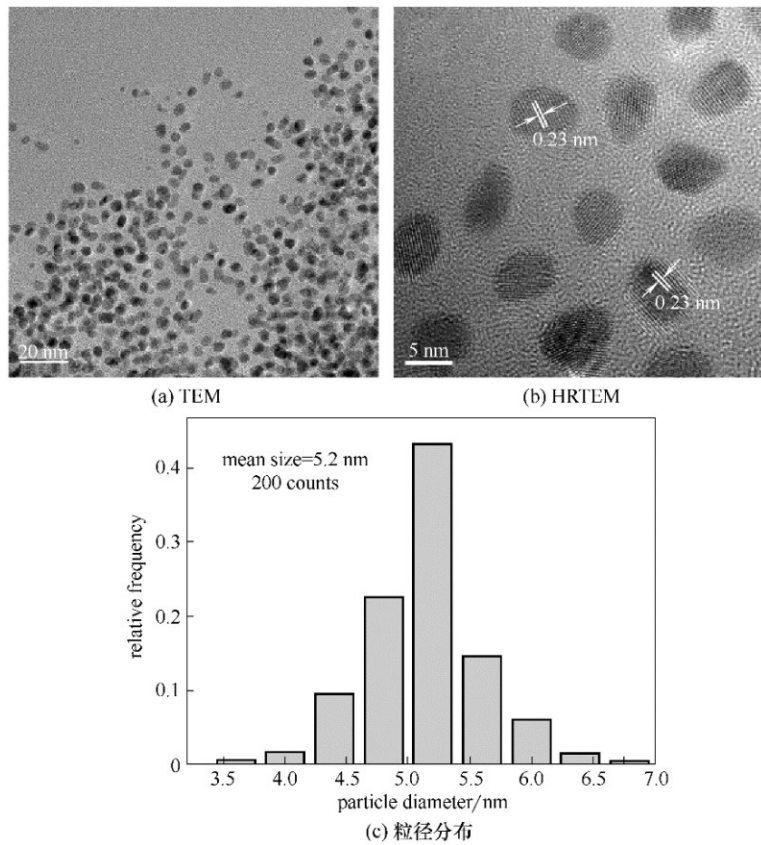


图 1 胶体分散液中 Pt 纳米粒子的 TEM、HRTEM 谱图及粒径分布统计

Fig.1 TEM, HRTEM images and size histograms of Pt nanoparticles

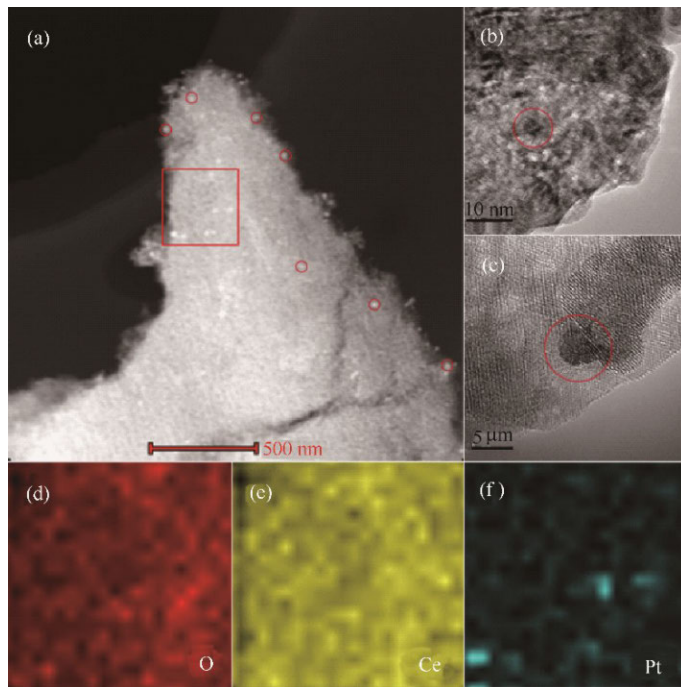


图 2 Pt/Ce-NPs 的 TEM[(a)、(b)]HRTEM 谱图(c)及 EDS mapping 谱图[(d)~(f)]  
Fig. 2 TEM [(a),(b)], HRTEM (c) images and EDS mapping [(d)–(f)] of Pt/Ce-NPs

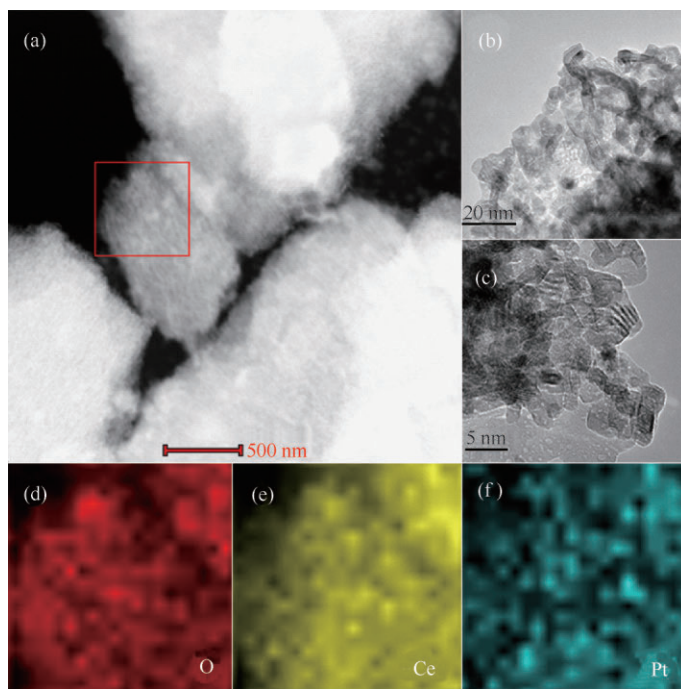


图 3 Pt/Ce-IMP 的 TEM[(a)、(b)], HRTEM 谱图(c)及 EDS mapping 谱图[(d)~(f)]  
Fig.3 TEM [(a),(b)], HRTEM (c) images and EDS mapping [(d)–(f)] of Pt/Ce-IMP

### 2.3 催化剂物理结构表征

图 5 是不同 Pt/CeO<sub>2</sub> 样品的 XRD 谱图, 观察谱图发现, 三类样品的谱图中均只出现立方萤石 CeO<sub>2</sub> (JCPDS No. 34-0394) 的特征衍射峰, 并没有归属于 Pt 的特征衍射峰, 这可能是因为样品中 Pt 负载量 (质量分数) 过少的缘故, 仅为 0.2%<sup>[13,37–38]</sup>。表 1 列出

了各个样品的 BET 数据, 以及由 Scherrer 公式计算得到的晶粒尺寸信息, 同时图 6 及图 7 给出了 BET 表征对应的吸脱附曲线及孔径分布。可以看到, 无论是比表面积, 孔结构还是晶粒尺寸, Pt/Ce-NPs、Pt/Ce-IMP 和 Pt/Ce-IMP\_R 之间并没有明显差别, 均表现出 CeO<sub>2</sub> 载体本身的结构特性, 说明不同 Pt 前体制

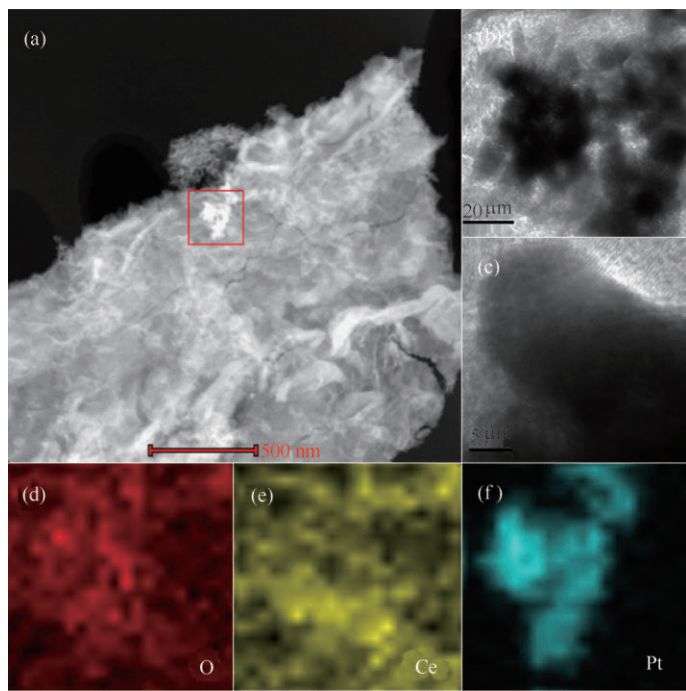


图4 Pt/Ce-IMP\_R 的 TEM[(a)、(b)] , HRTEM 谱图(c)及 EDS mapping 谱图[(d)~(f)]  
Fig. 4 TEM [(a),(b)], HRTEM (c) images and EDS mapping [(d)~(f)] of Pt/Ce-IMP\_R

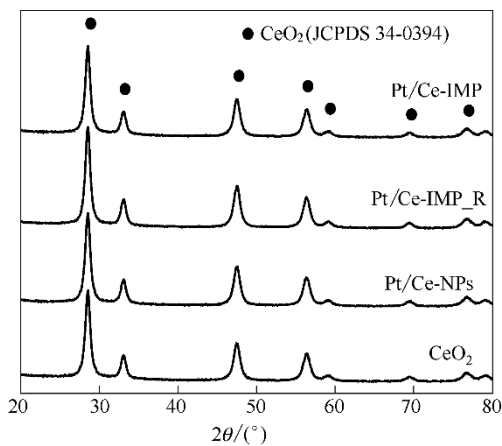


图5 CeO<sub>2</sub>和Pt/CeO<sub>2</sub>催化剂的XRD谱图  
Fig. 5 XRD patterns of CeO<sub>2</sub> and Pt/CeO<sub>2</sub> catalysts

备Pt/CeO<sub>2</sub>催化剂不会使其出现物理结构的差异。

#### 2.4 催化剂表面元素化学价态分析

通过XPS表征获得了各个样品的表面Pt化学

表1 CeO<sub>2</sub>和Pt/CeO<sub>2</sub>催化剂的物理结构参数

Table 1 Textural parameters of CeO<sub>2</sub> and Pt/CeO<sub>2</sub> catalysts

Sample	$S_{\text{BET}}/(\text{m}^2 \cdot \text{g}^{-1})$	$V_{\text{pore}}/(\text{cm}^3 \cdot \text{g}^{-1})$	Average pore size/nm	Crystallite size/nm
CeO <sub>2</sub>	64.6	0.22	13.6	12.8
Pt/Ce-NPs	63.1	0.20	13.6	12.1
Pt/Ce-IMP_R	61.0	0.20	13.9	12.4
Pt/Ce-IMP	63.4	0.20	13.6	11.4

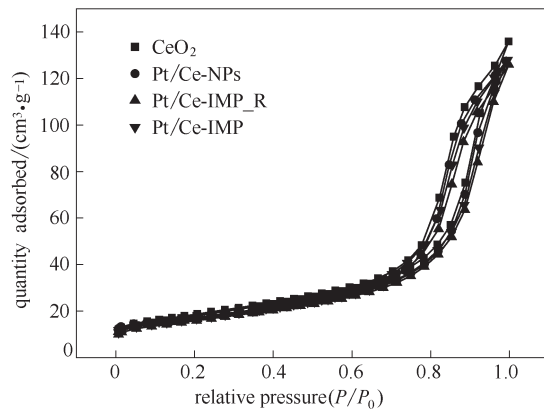


图6 CeO<sub>2</sub>和Pt/CeO<sub>2</sub>催化剂的氮气吸脱附曲线  
Fig.6 N<sub>2</sub> adsorption-desorption isotherms of CeO<sub>2</sub> and Pt/CeO<sub>2</sub> catalysts

价态信息,结果见图8。对于Pt/CeO<sub>2</sub>样品,Pt 4f范围内的包峰可以分为两组,一组为出现在71.1、74.4 eV处的峰,对应于Pt<sup>0</sup>物种,另一组为出现在73.0、76.3 eV处的峰,归属于Pt<sup>2+</sup>物种<sup>[30,38-39]</sup>。观察谱图发现,三类样品表现出完全不同的谱图特性,其中Pt/Ce-NPs样品分别在70.9、74.2 eV以及71.9、75.2 eV处出现两组包峰,其中前者对应于Pt<sup>0</sup>物种,后者对应于中间价态Pt<sup>δ+</sup>物种,根据峰面积比例计算得到的Pt<sup>0</sup>/Pt为92.1%,微量Pt<sup>δ+</sup>的出现可能是由于胶体粒子原位沉积法负载Pt纳米粒子,部分Pt与CeO<sub>2</sub>之间形成了Pt-O-Ce相互作用,产生了处于中间价态

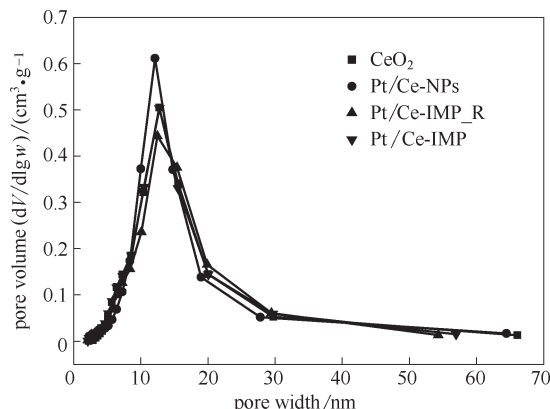
图 7  $\text{CeO}_2$  和  $\text{Pt}/\text{CeO}_2$  催化剂的孔径分布

Fig.7 Corresponding pore size distributions of  $\text{CeO}_2$  and  $\text{Pt}/\text{CeO}_2$  catalysts

的  $\text{Pt}^{\delta+}$ <sup>[30,40]</sup>；以浸渍法将 Pt 离子负载到载体表面, 这种 Pt-O-Ce 相互作用的形成更加明显, 可以看到谱图中 Pt 只在 72.8、76.1 eV 处出现一组归属于  $\text{Pt}^{2+}$  物种的特征峰, 并没有归属于  $\text{Pt}^0$  物种的特征峰,  $\text{Pt}/\text{Ce-IMP}$  样品中, Pt 完全以  $\text{Pt}^{2+}$  的形式参与到 Pt-O-Ce 键成键中, 金属态  $\text{Pt}^0$  缺失<sup>[27,30]</sup>；以浸渍还原法制备  $\text{Pt}/\text{CeO}_2$  催化剂, 对  $\text{Pt}^0$  缺失这一现象有明显改善, 可以看到,  $\text{Pt}/\text{Ce-IMP_R}$  样品中 Pt 分别在 70.9、74.2 eV 以及 72.8、76.1 eV 处出现特征峰, 出现了对应于  $\text{Pt}^{2+}$  物种的特征峰, 其中,  $\text{Pt}^0/\text{Pt}$  为 36.8%。

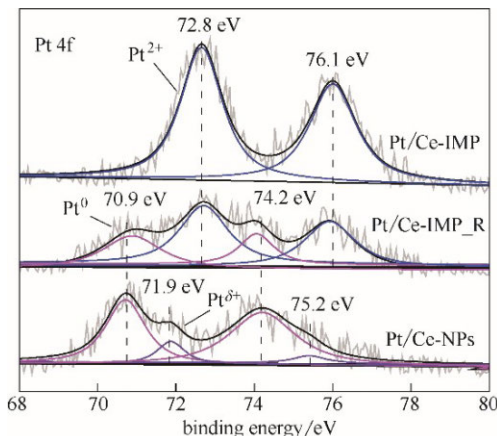
图 8  $\text{Pt}/\text{CeO}_2$  催化剂的 Pt 4f XPS 谱图

Fig.8 Pt 4f XPS patterns  $\text{Pt}/\text{CeO}_2$  catalysts

图 9 是各个样品的 Ce 3d XPS 谱图,  $\text{Ce}^{4+}$  物种对应的特征峰分别出现在 882.4、888.7、897.6、900.1、907.7 以及 916.6 eV;  $\text{Ce}^{3+}$  物种对应的特征峰出现在 884.6 以及 902.6 eV<sup>[18,41-43]</sup>, 根据峰面积比例计算得到  $\text{Pt}/\text{Ce-NPs}$ 、 $\text{Pt}/\text{Ce-IMP_R}$  以及  $\text{Pt}/\text{Ce-IMP}$  对应的  $\text{Ce}^{3+}/\text{Ce}^{4+}$  分别为 18.2%、19.0% 以及 19.4%, 结果列于表 2。可以看到,  $\text{Pt}/\text{Ce-IMP}$  以及  $\text{Pt}/\text{Ce-IMP_R}$  样品

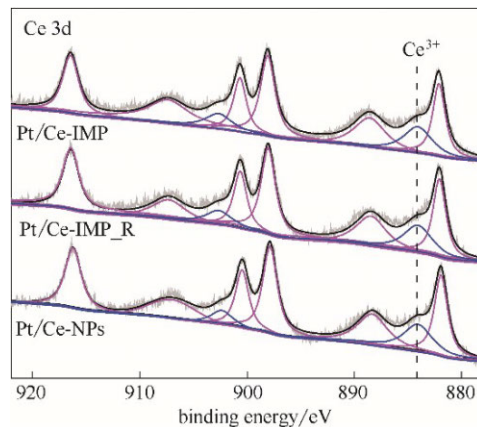
图 9  $\text{Pt}/\text{CeO}_2$  催化剂的 Ce 3d XPS 谱图

Fig.9 Ce 3d XPS patterns  $\text{Pt}/\text{CeO}_2$  catalysts

中  $\text{Ce}^{3+}$  的含量明显高于  $\text{Pt}/\text{Ce-NPs}$ , 结合样品的 Pt 4f XPS 谱图分析, 该类样品具有的正价态  $\text{Pt}^{2+}$  与  $\text{CeO}_2$  之间形成了更强的 Pt-O-Ce 相互作用, 通过电子转移促进低价态  $\text{Ce}^{3+}$  的产生<sup>[26,44]</sup>, 同时,  $\text{Ce}^{3+}$  的含量也是衡量氧空位数目的重要指标<sup>[38]</sup>。图 10 是各个样品的 O 1s XPS 谱图, 谱图中出现两类特征峰, 处于 521.9~529.3 eV 之间的特征峰, 标记为  $\text{O}_{\alpha}$ , 以及出现在 531.6 eV 处的特征峰, 标记为  $\text{O}_{\beta}$ , 这两类特征峰分别归属于  $\text{CeO}_2$  晶格氧以及表面氧缺陷位吸附氧<sup>[45]</sup>。根据峰面积比例计算得到  $\text{O}_{\beta}/\text{O}_{\alpha}$  列于表 2,  $\text{Pt}/\text{Ce-NPs}$ 、 $\text{Pt}/\text{Ce-IMP_R}$  以及  $\text{Pt}/\text{Ce-IMP}$  对应的  $\text{O}_{\beta}/\text{O}_{\alpha}$  分别为 16.4%、18.6% 以及 20.6%, 其中  $\text{Pt}/\text{Ce-IMP}$  以及  $\text{Pt}/\text{Ce-IMP_R}$  中的  $\text{O}_{\beta}$  含量明显高于  $\text{Pt}/\text{Ce-NPs}$ , 具有更高比例的表面氧缺陷位, 与 Ce 3d 的分析结果相一致。Pt-O-Ce 键的形成有利于 Pt 离子融入到  $\text{CeO}_2$  的晶格中, 产生更多的缺陷位。

## 2.5 催化剂还原特性分析

图 11 是  $\text{CeO}_2$  以及  $\text{Pt}/\text{CeO}_2$  样品的  $\text{H}_2$ -TPR 谱图,

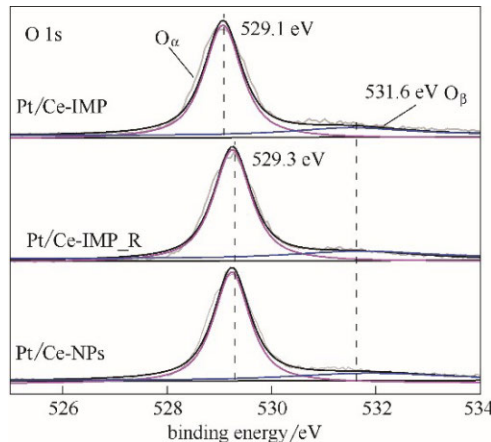
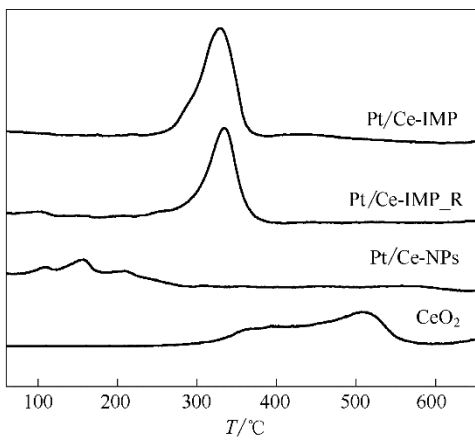
图 10  $\text{Pt}/\text{CeO}_2$  催化剂的 O 1s XPS 谱图

Fig.10 O 1s XPS patterns  $\text{Pt}/\text{CeO}_2$  catalysts

表2 Pt/CeO<sub>2</sub>催化剂的XPS表征结果Table 2 XPS results of Pt/CeO<sub>2</sub> catalysts

Sample	(Pt <sup>0</sup> /Pt)/%	(Ce <sup>3+</sup> /(Ce <sup>3+</sup> +Ce <sup>4+</sup> ))/%	(O <sub>β</sub> /(O <sub>α</sub> +O <sub>β</sub> ))/%
Pt/Ce-NPs	92.1	18.2	16.4
Pt/Ce-IMP_R	36.8	19.0	18.6
Pt/Ce-IMP	0	19.4	20.6

以CuO作为标样计算得到各个样品对应的还原峰耗氢量列于表3。其中,CeO<sub>2</sub>在360℃以及510℃处出现两组特征还原峰,分别对应于CeO<sub>2</sub>表面氧以及次表层氧的还原<sup>[38,46-47]</sup>。负载了Pt以后,Pt/Ce-NPs、Pt/Ce-IMP\_R以及Pt/Ce-IMP样品的表面氧还原特性有了明显改善,对应的还原峰均向低温方向移动,归因于CeO<sub>2</sub>负载Pt,两者之间Pt-O-Ce相互作用的形成能够通过电子转移活化O-Ce键,促进CeO<sub>2</sub>表面氧的低温溢出<sup>[4,16,18,37]</sup>。同时这种活化作用在Pt/Ce-IMP\_R以及Pt/Ce-IMP样品中有更好体现,可以看到两者对应的CeO<sub>2</sub>表面氧还原峰峰面积明显提高,计算得到的耗氢量分别为335以及401 μmol·g<sup>-1</sup>。

图11 CeO<sub>2</sub>和Pt/CeO<sub>2</sub>催化剂的H<sub>2</sub>-TPR谱图Fig.11 H<sub>2</sub>-TPR profiles of CeO<sub>2</sub> and Pt/CeO<sub>2</sub> catalysts表3 CeO<sub>2</sub>和Pt/CeO<sub>2</sub>催化剂的耗氢量计算结果Table 3 H<sub>2</sub> consumption data of CeO<sub>2</sub> and Pt/CeO<sub>2</sub> samples

Sample	Peak position/°C	H <sub>2</sub> consumption/(μmol·g <sup>-1</sup> )
CeO <sub>2</sub>	360,510	321
Pt/Ce-NPs	150	84
Pt/Ce-IMP_R	330	335
Pt/Ce-IMP	330	401

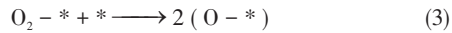
## 2.6 活性评价

图12给出了不同方法制备的Pt/CeO<sub>2</sub>样品催化

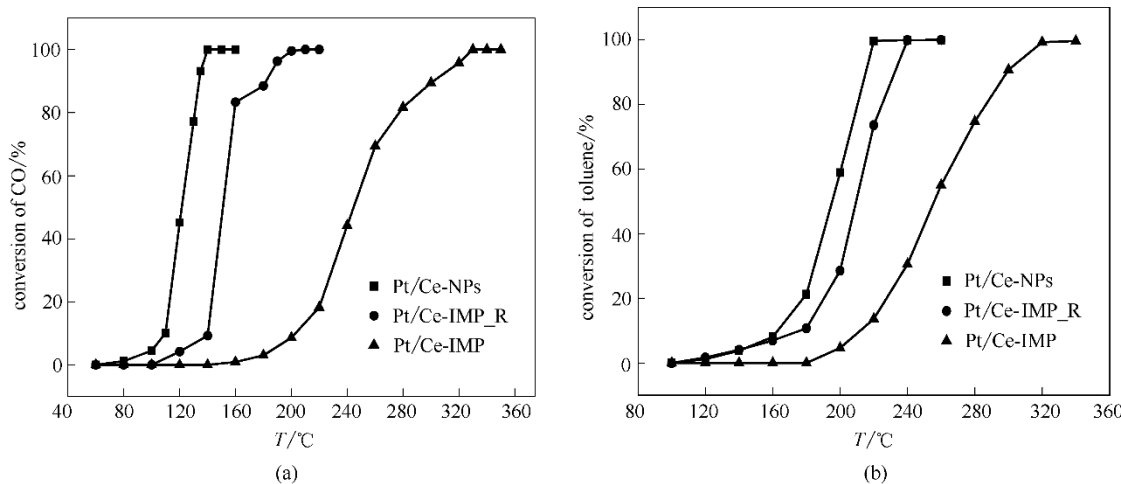
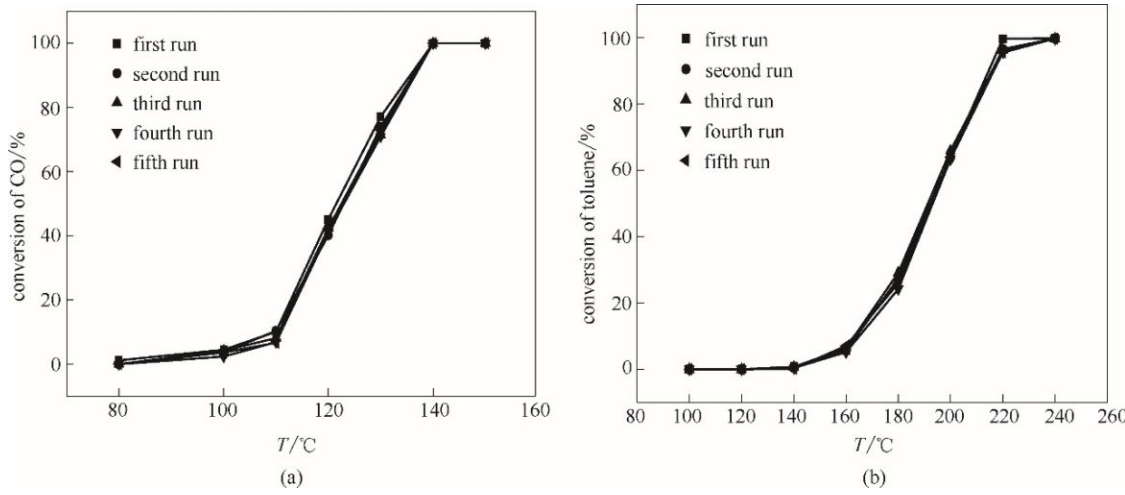
氧化CO,催化燃烧甲苯的起燃曲线。观察谱图发现,两类评价反应中,催化剂活性均按照如下顺序排列:Pt/Ce-NPs > Pt/Ce-IMP\_R > Pt/Ce-IMP,同时表现出较大的差异。表4统计了各个样品的T<sub>10%</sub>及T<sub>90%</sub>数据(反应物转化率达到10%及90%所对应的温度),从表中可以看到,胶体溶液制备的Pt/Ce-NPs具有最好的催化活性,对应于CO氧化的温度区间为110~130℃,甲苯燃烧的温度区间为160~210℃,同时该催化剂表现出优异的起燃速率,能够使CO,甲苯在较窄的温度区间内迅速燃烧,对应的ΔT值(ΔT=T<sub>90%</sub>-T<sub>10%</sub>)分别为20℃以及50℃。和Pt/Ce-NPs相比,Pt/Ce-IMP\_R以及Pt/Ce-IMP样品活性较差,尤其是Pt/Ce-IMP催化剂,在CO氧化,甲苯燃烧中的起燃温度分别为200℃以及210℃,同比提高90℃以及50℃,完全燃烧温度分别为300℃以及300℃,上升70℃以及90℃,同时,该催化剂表现出缓慢的起燃速率,对应的ΔT值分别为100℃以及90℃。而据文献报道,贵金属作为催化剂,尤以Pt基催化剂为例,在催化反应物燃烧时能够在很短的温度区间内迅速完成<sup>[17,48-49]</sup>,Pt/Ce-IMP催化剂的活性特征和这一现象完全不符,间接地说明了该催化剂中Pt纳米粒子未能完全发挥出它的催化作用。图13是Pt/Ce-NPs样品的稳定性测试结果,观察谱图发现,无论对于CO氧化,还是甲苯燃烧,五次循环测试中,催化剂并没有出现活性下降,说明胶体分散液制备的Pt/CeO<sub>2</sub>催化剂具有优异的稳定性。

## 2.7 反应机理讨论

Pt/CeO<sub>2</sub>催化剂用于CO氧化以及甲苯燃烧反应的反应机理一般可以形容为<sup>[18,32,50]</sup>



式(1)~式(4)中,\*代表位于CeO<sub>2</sub>中的氧空位,反应具体可以描述为以下三个步骤:①反应物分子在金属Pt表面的活性位点上吸附活化,形成Pt-CO(Toluene)中间物种;②气相氧分子在氧空位中活化形成活性氧物种;③被活化的反应物和活性氧在界面处反应生成CO<sub>2</sub>(甲苯催化燃烧中生成CO<sub>2</sub>+H<sub>2</sub>O)。相对于真实反应,这只是一个简化的理想模型,但是却可以从根本上解释了不同Pt/CeO<sub>2</sub>催化剂表现出活性差异的主要原因:Pt/Ce-NPs样品中,载体表面拥有丰富的金属态Pt<sup>0</sup>,能够为反应物提供充

图 12 Pt/CeO<sub>2</sub> 催化剂用于 CO 氧化、甲苯燃烧反应的活性测试结果Fig.12 Conversion of CO and toluene over Pt/CeO<sub>2</sub> catalysts图 13 Pt/CeO<sub>2</sub>-NPs 用于 CO 氧化、甲苯燃烧反应的稳定性测试结果Fig.13 Conversion of CO and toluene over Pt/CeO<sub>2</sub>-NPs with five consecutive catalytic runs表 4 Pt/CeO<sub>2</sub> 催化剂的活性数据统计结果Table 4 Catalytic performances for various Pt/CeO<sub>2</sub> catalysts

Reaction	Sample	Catalytic activity		
		T <sub>10%</sub> /°C	T <sub>90%</sub> /°C	ΔT/°C <sup>①</sup>
CO oxidation	Pt/Ce-NPs	110	130	20
	Pt/Ce-IMP_R	140	180	40
	Pt/Ce-IMP	200	300	100
toluene combustion	Pt/Ce-NPs	160	210	50
	Pt/Ce-IMP_R	180	235	55
	Pt/Ce-IMP	210	300	90

<sup>①</sup> ΔT = T<sub>90%</sub> - T<sub>10%</sub>.

足的活化位点,式(1)顺利进行,同时气相氧在CeO<sub>2</sub>本身具有的活性位上吸附活化,两类中间物种在界面处自由反应,催化剂表现出优异的活性;Pt/Ce-IMP\_R样品中,Pt除了以金属态Pt<sup>0</sup>的形式存在

外,部分Pt与CeO<sub>2</sub>之间形成了Pt-O-Ce相互作用,虽然能够通过电子转移增强载体的活性氧释放能力,促进式(2)的进行,但是金属态Pt<sup>0</sup>含量的下降使式(1)受到明显抑制,而在富氧以及Pt低负载量的情况下,这种抑制作用尤为突出,综合表现为催化剂活性下降;而在Pt/Ce-IMP样品中,Pt完全以Pt<sup>2+</sup>的形式参与到载体表面的Pt-O-Ce键构建中,金属态Pt<sup>0</sup>的缺失使式(1)难以进行,和Pt/Ce-NPs以及Pt/Ce-IMP\_R相比,催化剂表现出明显的失活现象。

### 3 结 论

Pt/CeO<sub>2</sub>催化剂中起主要活性作用的是金属态Pt<sup>0</sup>,胶体粒子原位沉积法能够将优先合成好的Pt纳米粒子直接以金属态Pt<sup>0</sup>的形式负载到CeO<sub>2</sub>表

面,同时保证其高度均匀分散,与传统浸渍法以及浸渍还原法相比实现Pt<sup>0</sup>的高效负载,对于发挥Pt基催化剂中Pt的本征催化性能,提高Pt的利用率具有重要意义,是一种具有应用前景的Pt基催化剂制备方法。

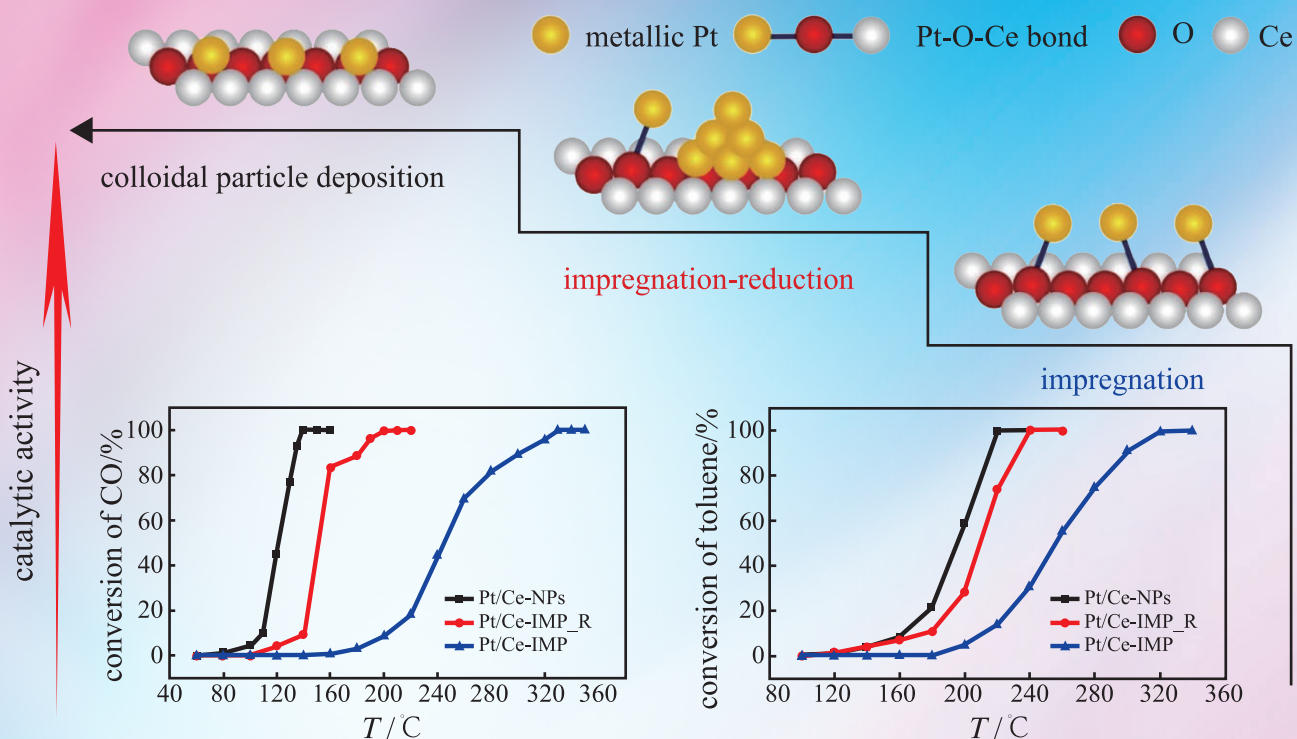
### 符 号 说 明

- $d$ ——晶粒尺寸, nm  
 $S_{\text{BET}}$ ——比表面积,  $\text{m}^2 \cdot \text{g}^{-1}$   
 $T_{10\%}$ ——反应物转化率达到10%对应的温度, ℃  
 $T_{90\%}$ ——反应物转化率达到90%对应的温度, ℃  
 $\Delta T = T_{90\%} - T_{10\%}$  与  $T_{10\%}$  之间的差值, ℃  
 $V_{\text{pore}}$ ——微孔体积,  $\text{cm}^3 \cdot \text{g}^{-1}$

### 参 考 文 献

- [1] Ma Y, Chen M, Song C, et al. Catalytic oxidation of toluene, acetone and ethyl acetate on a new Pt-Pd/stainless steel wire mesh catalyst[J]. *Acta Physico-Chimica Sinica*, 2008, **24**: 1132–1136.
- [2] Zheng C H, Shen J L, Zhang Y X, et al. Quantitative assessment of industrial VOC emissions in China: historical trend, spatial distribution, uncertainties, and projection[J]. *Atmospheric Environment*, 2017, **150**: 116–125.
- [3] Li M, Liu H, Geng G N, et al. Anthropogenic emission inventories in China: a review[J]. *National Science Review*, 2017, **4**: 834–866.
- [4] Gentner D R, Harley R A, Miller A M, et al. Diurnal and seasonal variability of gasoline-related volatile organic compound emissions in Riverside, California[J]. *Environmental Science & Technology*, 2009, **43**: 4247–4252.
- [5] Li W B, Chu W B, Zhuang A, et al. Catalytic oxidation of toluene on Mn-containing mixed oxides prepared in reverse microemulsions[J]. *Catalysis Today*, 2004, **93/94/95**: 205–209.
- [6] Xiao L H, Sun K P, Xu X L, et al. Catalytic combustion of methane over CeO<sub>2</sub>-MO<sub>x</sub> (M=La<sup>3+</sup>, Ca<sup>2+</sup>) solid solution promoted Pd/gamma-Al<sub>2</sub>O<sub>3</sub> catalysts[J]. *Acta Physico-Chimica Sinica*, 2008, **24**: 2108–2113.
- [7] Aguero F N, Barbero B P, Gambaro L, et al. Catalytic combustion of volatile organic compounds in binary mixtures over MnO<sub>x</sub>/Al<sub>2</sub>O<sub>3</sub> catalyst[J]. *Applied Catalysis B-Environmental*, 2009, **91**: 108–112.
- [8] Morales M R, Barbero B P, Cadus L E. Total oxidation of ethanol and propane over Mn-Cu mixed oxide catalysts[J]. *Applied Catalysis B-Environmental*, 2006, **67**: 229–236.
- [9] Grbic B, Radic N, Terlecki-Baricevic A. Kinetics of deep oxidation of *n*-hexane and toluene over Pt/Al<sub>2</sub>O<sub>3</sub> catalysts—oxidation of mixture[J]. *Applied Catalysis B-Environmental*, 2004, **50**: 161–166.
- [10] Li N, Chen Q Y, Luo M F, et al. Kinetics study of CO oxidation reaction over Pt/TiO<sub>2</sub> catalysts[J]. *Acta Physico-Chimica Sinica*, 2013, **29**: 1055–1062.
- [11] Shen M Q, Lv L F, Wang J Q, et al. Study of Pt dispersion on Ce based supports and the influence on the CO oxidation reaction[J]. *Chemical Engineering Journal*, 2014, **255**: 40–48.
- [12] Chen X, Zhao Z L, Zhou Y, et al. A facile route for spraying preparation of Pt/TiO<sub>2</sub> monolithic catalysts toward VOCs combustion[J]. *Applied Catalysis A-General*, 2018, **566**: 190–199.
- [13] Liu H H, Wang Y, Jia A P, et al. Oxygen vacancy promoted CO oxidation over Pt/CeO<sub>2</sub> catalysts: a reaction at Pt-CeO<sub>2</sub> interface [J]. *Applied Surface Science*, 2014, **314**: 725–734.
- [14] Cui H Z, Yao J L, Ben L I, et al. Study on performance of low loading Pt/ $\gamma$ -AlOOH for VOCs catalytic combustion[J]. *Modern Chemical Industry*, 2017, **37**: 93–97, 99.
- [15] Xie X J, Chen W K, Sun B Z, et al. Adsorption behavior of NO on Cu<sub>3</sub>Pt(111) surface[J]. *Acta Physico-Chimica Sinica*, 2010, **26**: 3047–3051.
- [16] Becker E, Carlsson P A, Skoglundh M. Methane oxidation over alumina and ceria supported platinum[J]. *Topics in Catalysis*, 2009, **52**: 1957–1961.
- [17] Oran U, Uner D. Mechanisms of CO oxidation reaction and effect of chlorine ions on the CO oxidation reaction over Pt/CeO<sub>2</sub> and Pt/CeO<sub>2</sub>/gamma-Al<sub>2</sub>O<sub>3</sub> catalysts[J]. *Applied Catalysis B-Environmental*, 2004, **54**: 183–191.
- [18] Peng R S, Sun X B, Li S J, et al. Shape effect of Pt/CeO<sub>2</sub> catalysts on the catalytic oxidation of toluene[J]. *Chemical Engineering Journal*, 2016, **306**: 1234–1246.
- [19] Zhou J F, Zhao M, Peng N, et al. Performance effect of Pt/MO<sub>x</sub>-SiO<sub>2</sub> (M=Ce, Zr, Al) catalysts for CO and C<sub>3</sub>H<sub>8</sub> oxidation[J]. *Acta Physico-Chimica Sinica*, 2012, **28**: 1448–1454.
- [20] Meher S K, Cargnello M, Troiani H, et al. Alcohol induced ultra-fine dispersion of Pt on tuned morphologies of CeO<sub>2</sub> for CO oxidation[J]. *Applied Catalysis B-Environmental*, 2013, **130**: 121–131.
- [21] Gao Y X, Wang W D, Chang S J, et al. Morphology effect of CeO<sub>2</sub> support in the preparation, metal-support interaction, and catalytic performance of Pt/CeO<sub>2</sub> catalysts[J]. *Chemcatchem*, 2013, **5**: 3610–3620.
- [22] Wu X Q, Zong R L, Zhu Y F. Enhanced MnO<sub>2</sub> nanorods to CO and volatile organic compounds oxidative activity by platinum nanoparticles[J]. *Acta Physico-Chimica Sinica*, 2012, **28**: 437–444.
- [23] Cargnello M, Doan-Nguyen V V T, Gordon T R, et al. Control of metal nanocrystal size reveals metal-support interface role for ceria catalysts[J]. *Science*, 2013, **341**: 771–773.
- [24] Feng L, Hoang D T, Tsung C K, et al. Catalytic properties of Pt cluster-decorated CeO<sub>2</sub> nanostructures[J]. *Nano Research*, 2011, **4**: 61–71.
- [25] Liu H L, Lei M, Shao S B, et al. Preferential CO oxidation on Ce-promoted Pt/gamma-Al<sub>2</sub>O<sub>3</sub> catalysts under H<sub>2</sub>-rich atmosphere[J]. *Chinese Journal of Catalysis*, 2007, **28**: 1077–1082.
- [26] Jung S, Suzuki A, Tsuboi H, et al. An elucidation of the interaction between Pt particles and CeO<sub>2</sub> surfaces using tight-binding quantum chemistry method[J]. *Topics in Catalysis*, 2010, **53**: 700–706.
- [27] Lee J, Ryou Y S, Chan X J, et al. How Pt interacts with CeO<sub>2</sub> under the reducing and oxidizing environments at elevated temperature: the origin of improved thermal stability of Pt/CeO<sub>2</sub> compared to CeO<sub>2</sub>[J]. *Journal of Physical Chemistry C*, 2016, **120**: 25870–25879.
- [28] Maache R, Brahmi R, Pirault-Roy L, et al. Oxygen storage

- capacity of Pt–CeO<sub>2</sub> and Pt–Ce<sub>0.5</sub>Zr<sub>0.5</sub>O<sub>2</sub> catalysts[J]. Topics in Catalysis, 2013, **56**: 658–661.
- [29] Nagai Y, Hirabayashi T, Dohmae K, et al. Sintering inhibition mechanism of platinum supported on ceria-based oxide and Pt–oxide–support interaction[J]. Journal of Catalysis, 2006, **242**: 103–109.
- [30] Hatanaka M, Takahashi N, Takahashi N, et al. Reversible changes in the Pt oxidation state and nanostructure on a ceria-based supported Pt[J]. Journal of Catalysis, 2009, **266**: 182–190.
- [31] Jin J H, Li C, Tsang C W, et al. Catalytic combustion of methane over Pt–Ce oxides under scarce oxygen condition[J]. Industrial & Engineering Chemistry Research, 2016, **55**: 2293–2301.
- [32] Royer S, Duprez D. Catalytic oxidation of carbon monoxide over transition metal oxides[J]. ChemCatChem, 2011, **3**: 24–65.
- [33] Hinokuma S, Okamoto M, Ando E, et al. Structure and CO oxidation activity of Pt/CeO<sub>2</sub> catalysts prepared using arc–plasma [J]. Bulletin of the Chemical Society of Japan, 2012, **85**: 144–149.
- [34] Zheng B, Liu G, Geng L L, et al. Role of the FeO<sub>x</sub> support in constructing high-performance Pt/FeO<sub>x</sub> catalysts for low-temperature CO oxidation[J]. Catalysis Science & Technology, 2016, **6**: 1546–1554.
- [35] Zhou A B, Wang J, Wang H, et al. Effect of active oxygen on the performance of Pt/CeO<sub>2</sub> catalysts for CO oxidation[J]. Journal of Rare Earths, 2018, **36**: 257–264.
- [36] Ding K, Gulec A, Johnson A M, et al. Identification of active sites in CO oxidation and water–gas shift over supported Pt catalysts[J]. Science, 2015, **350**: 189–192.
- [37] Huang H, Dai Q G, Wang X Y. Morphology effect of Ru/CeO<sub>2</sub> catalysts for the catalytic combustion of chlorobenzene[J]. Applied Catalysis B–Environmental, 2014, **158**: 96–105.
- [38] Peng R S, Li S J, Sun X B, et al. Size effect of Pt nanoparticles on the catalytic oxidation of toluene over Pt/CeO<sub>2</sub> catalysts[J]. Applied Catalysis B–Environmental, 2018, **220**: 462–470.
- [39] Bera P, Gayen A, Hegde M S, et al. Promoting effect of CeO<sub>2</sub> in combustion synthesized Pt/CeO<sub>2</sub> catalyst for CO oxidation[J]. Journal of Physical Chemistry B, 2003, **107**: 6122–6130.
- [40] Damyanova S, Pawelec B, Arishtirova K, et al. The effect of CeO<sub>2</sub> on the surface and catalytic properties of Pt/CeO<sub>2</sub>–ZrO<sub>2</sub> catalysts for methane dry reforming[J]. Applied Catalysis B–Environmental, 2009, **89**: 149–159.
- [41] Wang Z, Wang Q, Liao Y C, et al. Comparative study of CeO<sub>2</sub> and doped CeO<sub>2</sub> with tailored oxygen vacancies for CO oxidation[J]. Chemphyschem, 2011, **12**: 2763–2770.
- [42] Pfau A, Schierbaum K D. The electronic–structure of stoichiometric and reduced CeO<sub>2</sub> surfaces—an XPS, UPS and HREELS study[J]. Surface Science, 1994, **321**: 71–80.
- [43] Xiao W D, Guo Q L, Wang E G. Transformation of CeO<sub>2</sub>(111) to Ce<sub>2</sub>O<sub>3</sub>(0001) films[J]. Chemical Physics Letters, 2003, **368**: 527–531.
- [44] Vayssilov G N, Lykhach Y, Migani A, et al. Support nanostructure boosts oxygen transfer to catalytically active platinum nanoparticles[J]. Nature Materials, 2011, **10**: 310–315.
- [45] Manuel L J, Gilbank A L, Garcia T, et al. The prevalence of surface oxygen vacancies over the mobility of bulk oxygen in nanostructured ceria for the total toluene oxidation[J]. Applied Catalysis B–Environmental, 2015, **174**: 403–412.
- [46] Zhou B, Xi K, Fan L J, et al. A comparative study on Ce–Pr and Ce–Mn mixed oxide catalysts toward soot catalytic combustion[J]. Applied Catalysis A–General, 2018, **562**: 1–10.
- [47] Reyes P, Pecchi G, Morales M, et al. The nature of the support and the metal precursor on the resistance to sulphur poisoning of Pt supported catalysts[J]. Applied Catalysis A–General, 1997, **163**: 145–152.
- [48] Zhu H Y, Wu Z L, Su D, et al. Constructing hierarchical interfaces: TiO<sub>2</sub>–supported PtFe–FeO<sub>x</sub> nanowires for room temperature CO oxidation[J]. Journal of the American Chemical Society, 2015, **137**: 10156–10159.
- [49] Chen C Y, Zhu J, Chen F, et al. Enhanced performance in catalytic combustion of toluene over mesoporous beta zeolite-supported platinum catalyst[J]. Applied Catalysis B–Environmental, 2013, **140**: 199–205.
- [50] Liu K, Wang A Q, Zhang T. Recent advances in preferential oxidation of CO reaction over platinum group metal catalysts[J]. ACS Catalysis, 2012, **2**: 1165–1178.



席康, 王勇, 谢晶, 王宁, 周瑛, 朱秋莲, 卢晗锋:

不同Pt前体制备Pt/CeO<sub>2</sub>催化剂对其结构及性能的影响

(4278~4288页)